

Вісник Харківського національного університету
 Серія «Математичне моделювання. Інформаційні технології. Автоматизовані системи
 управління»
 УДК 517:518+533 № 590, 2003, с. 61-68

Стабилизація аeroупругих колебань профіля пульсируючим трансзвуковим потоком газа.

Численное исследование

В. А. Ванин, В. Л. Волков, Ю. И. Миргород, В. В. Шмаков

*Інститут проблем машиностроения НАН, Украина,
 Харківський інститут ВВС, Україна*

Monotone differential schemes with a high order of approximation for the compressed gas equations elaborated earlier are used at the numerical study of possibilities of non-steady air-elastic oscillations of the isolated profile within a transacoustic gas flow. We emphasized the dependence of the nature of air-elastic oscillations on the direction and momentum change of the Mach number for a covering flow during its transfer through the stability border.

Введение. Развитие численных методов по пути повышения их эффективности основывается на ряде концептуальных положений сформировавшихся в последнее время.

Особенностью высокоеффективных численных методов является их способность улавливать тонкие особенности рассматриваемых процессов еще на достаточно грубых пространственно-временных сетках.

1. Адаптивные дискретные модели. Адаптацию численного метода можно выполнить несколькими способами.

Адаптация алгоритма путем динамической перестройки сетки при фиксированном шаблоне аппроксимации производных (потоковых выражений) [1-10].

Адаптация алгоритма на основе использования переменного монотонизирующего шаблона аппроксимации при фиксированной геометрической разностной сетке [11-16].

Настоящая работа реализует подход к адаптации разностных аппроксимаций через монотонизирующее ограничение локального распределения параметров на фиксированной разностной сетке. Реконструкция локального распределения основывается на разработанной технологии модификации интерполяционного полинома Ньютона включением в его коэффициенты монотонизирующего управления.

Идея создания численных алгоритмов "самонастраивающихся" на ряд важных требований к их конструкции формализовалась в виде общих правил разработки конечномерных моделей. Кроме основных (классических) требований - аппроксимация, устойчивость, сходимость для получения решения с необходимыми качествами важное значение имеют свойство консервативности (полная консервативность), сохранение основных групповых свойств решений исходной задачи, монотонность численного решения. Не все такие требования независимы, но и установить четкую иерархию следований пока не представляется возможным.

Чем «далнее» от предельного выражения находится его дискретный аналог тем больше индивидуальных качеств (свойств) проявляется в численном решении. Исходная дискретная модель с ее свойствами порождает предельную (дифференциальную или интегральную) модель с предельно преобразованными свойствами и уже для численного исследования проделывают обратный переход.

Отметим, что использование в конструкциях разностных схем решения задачи о распаде произвольного разрыва, обеспечивает выполнение энтропийного условия, на важность которого стали обращать внимание вычислители.

Для уравнений газовой динамики (уравнения Эйлера) применяется монотонизированная разностная схема и метод дискретных вихрей для потенциала и функции тока (уравнения Лапласа). Сравнительное численное исследование производится для задачи дозвукового обтекания цилиндра идеальным газом.

2. Низкоскоростное обтекание цилиндра.

Модель 1. Уравнения движения газа в расчетной области Ω (рис.1) имеют вид

$$\frac{\partial U}{\partial t} + \frac{\partial F(U)}{\partial x} + \frac{\partial G(U)}{\partial y} = 0, \quad (1)$$

$$\text{где } U = \begin{pmatrix} \rho \\ \rho u \\ \rho v \\ E \end{pmatrix}, \quad F(U) = \begin{pmatrix} \rho u \\ \rho u^2 + p \\ \rho uv \\ (E + p)u \end{pmatrix}, \quad G(U) = \begin{pmatrix} \rho v \\ \rho uv \\ \rho v^2 + p \\ (E + p)v \end{pmatrix},$$

- Ω - ограничена кривыми внешней границы $\sigma = ABCD$ и следа цилиндра σ_1 на плоскости $z=0$;

- $p(x, y, t)$, $\rho(x, y, t)$, $u(x, y, t)$, $v(x, y, t)$ – соответственно давление, плотность и декартовы компоненты скорости газа;

- $E = \rho(e + \frac{u^2 + v^2}{2})$ - полная энергия, $e = p/(k-1)\rho$, $p = \rho RT$ -

калорическое и термическое уравнения состояния газа;

- k, R - показатель адиабаты и газовая постоянная.

На границе AD входные условия задавались углом натекания газа на цилиндр $\alpha = 0$, полные давление P_0 и температура T_0 , соответствующие дозвуковым скоростям газа с числом $M=0.35$. Условия на правой границе расчетной области BC определялись атмосферным статическим давлением P_2 . Границы AB и DC размещались в невозмущенном потоке, на которых выполнялись условия $\frac{\partial U}{\partial n} = 0$. На поверхности цилиндра задавалось условие непротекания в виде $\vec{V} \cdot \vec{n} = 0$, где \vec{n} - внешняя нормаль к границе области интегрирования.

Интегрирование
повышенного
трансзвуковых течений

Модель 2. потенциала возмущения удовлетворяющие

и следующим граничным

1) на поверхности

2) на бесконечности

3) на свободной
совместности течения

По известным
скоростей в любой
из граничных ус

D

A

Rис.1 Расчетная

Оторвавшийся
дискретных вихрей

Расчет нестационарного
обтекания произвольных
свободных дискретных вихрей
неизменными во времени
частицами среды.

Поле давления
Коши-Лагранжа.

Параметры в
уравнения импульса

аналог
ченном
ельную
нимыми
ратный

решения
лнение
имание

еняется
й для
ленное
линидра

имеют

(1)

ндра σ_1
авление,

 pRT -
газа на
вующие
границе
ием P_2 .
которых
условие
области

Интегрирование уравнений (1) осуществлялось схемой типа С.К. Годунова повышенного порядка аппроксимации, разработанной для расчета трансзвуковых течений газа [1,16].

Модель 2. Решение задачи обтекания цилиндра состоит в отыскании потенциала возмущенных скоростей $\varphi'(\tau, \vec{r})$, определяющего поле скоростей, удовлетворяющего уравнению

$$\Delta\varphi' = 0 \quad (2)$$

и следующим граничным условиям:

- 1) на поверхности σ_1 - условию непротекания,
- 2) на бесконечности - условию убывания возмущений $\varphi'(\tau, \vec{r})$,
- 3) на свободной вихревой пелене σ_p - кинематическому условию совместности течения, что эквивалентно отсутствию перепада давлений.

По известным циркуляциям дискретных вихрей определялось распределение скоростей в любой области течения и на поверхности тела, что являлось одним из граничных условий для расчета течения в пограничном слое.

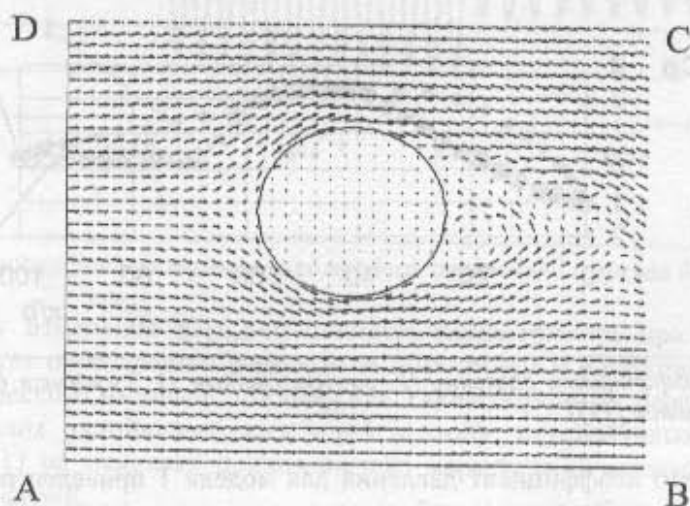


Рис.1 Расчетная область и поле направлений векторов скорости (модель 2)

Оторвавшийся пограничный слой моделировался цепочками свободных дискретных вихрей.

Расчет нестационарного потенциального течения в области невязкого обтекания производился с учетом вихревого следа, состоящего из цепочек свободных дискретных вихрей, величина циркуляции которых оставалась неизменными во времени, а их движение совпадало с движением жидких частиц среды.

Поле давлений в произвольной точке пространства определяется интегралом Коши-Лагранжа.

Параметры вязкого течения в пристенночной области определяются из уравнения импульсов Кармана теории пограничного слоя.

При численной реализации для модели 2, как отмечено в работе [17], следует учитывать следствия из общих теорем гидродинамики, определяющих важные свойства решения (2).

Переход от модели 1 к модели 2 накладывает дополнительные условия, сужающие класс решений исходной модели. Система уравнений (1) – гиперболическая. Не все операции (в частности, дифференцирование), применяемые при таком переходе, инвариантны по отношению к собственным числам оператора задачи (1) [18].

Восстановить некоторые утраченные характеристические свойства решения в модели 2 удается использованием идеологии присоединенных и свободных вихрей. Однако моделирование трансзвуковых и сверхзвуковых течений в рамках этой модели требует использования «конусообразных» вихрей.

Результаты расчета нестационарного отрывного обтекания кругового цилиндра, внезапно приведенного в движение из состояния покоя, с числом $Re = 0,67 \cdot 10^6$ приведены на рис. 2.

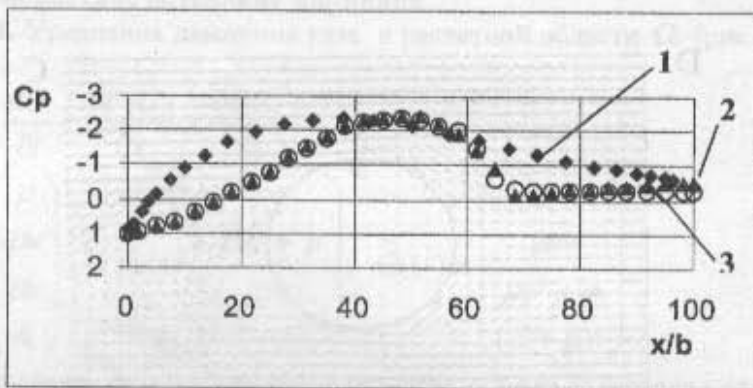


Рис.2 Коэффициент давления (1 - расчет (модель 1), 2 - расчет (модель 2), 3 - эксперимент [19])

Заметим, что коэффициент давления для модели 1 приведен полный, а для модели 2 только возмущающая добавка.

3. Аэроупругие колебания профиля в трансзвуковом потоке газа.

Найденные в работе [20] зоны устойчивых и неустойчивых колебаний аэроупругого профиля NACA-0012, с границами определяемыми числами M_∞ , исследуются на динамическую устойчивость. Границы интервала устойчивых колебаний с $M_\infty \in [0.63, 0.71]$ преодолеваются скачкообразным изменением числа M_∞ для левой границы от 0.505 до 0.71 и наоборот, а для правой границы от 0.71 до 0.733 и обратно.

Результаты расчетов в виде зависимостей $M_z(t)$ (аэродинамический момент) и $al(t)$ (угловые перемещения профиля) приведены на рис.3, 4 и рис.5, 6 для двух переходов соответственно.

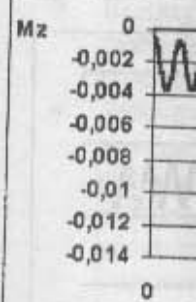


Рис.3 Зависимости

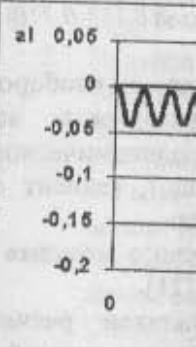


Рис.4 Зависимости

Особенность изменения аэродинамического момента для перехода из зоны аэродинамического Macha из зоны (0.505 \leftrightarrow 0.71) наоборот, а для правой границы системы профиля

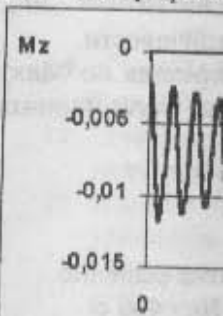


Рис.5 Зависимости

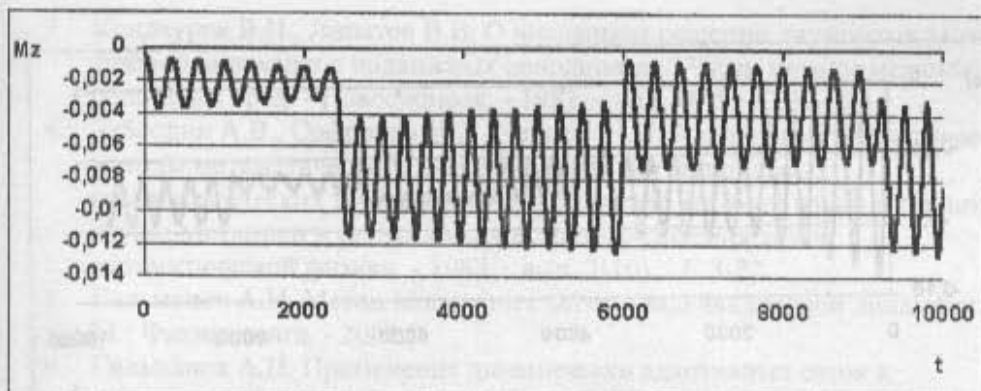


Рис.3 Зависимость момента аэродинамических сил от времени. (переход 0.505-0.710)

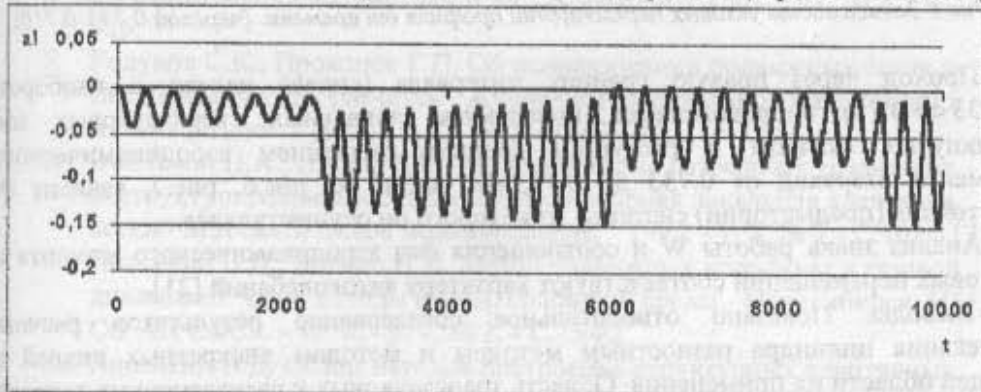


Рис.4 Зависимость угловых перемещений профиля от времени.(переход 0.505-0.710)

Особенность изменения аэродинамических характеристик при прохождении левой границы определяется дозвуковым обтеканием и возрастанием среднего аэродинамического момента. Видно, что скачкообразный переход по числу Маха из зоны устойчивых колебаний в зону неустойчивых и наоборот ($0.505 \Leftrightarrow 0.71$) не изменяет принципиально характера поведения аэроупругой системы профилей.

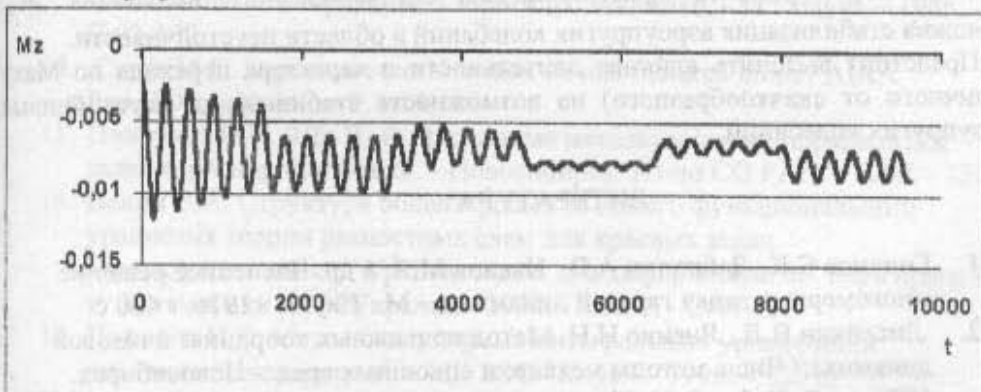


Рис.5. Зависимость момента аэродинамических сил от времени. (переход 0.733-0.710)

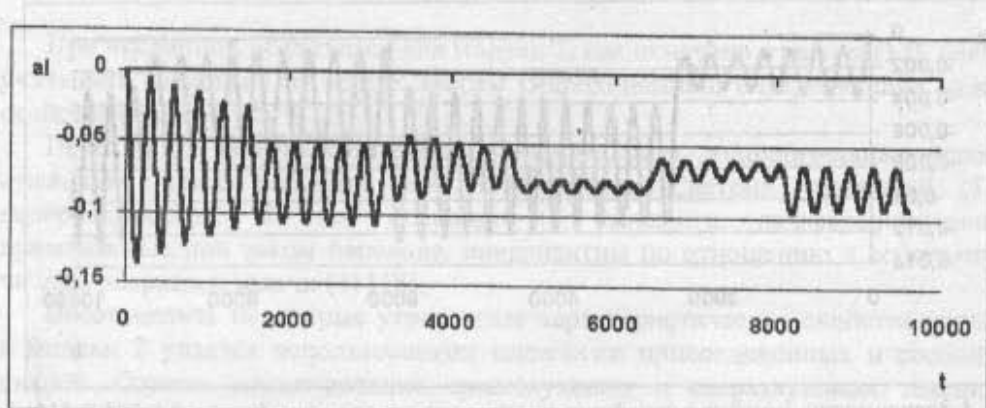


Рис.6 Зависимость угловых перемещений профия от времени. (переход 0.733-0.710)

Проход через правую границу интервала (справа налево и наоборот, $0.733 \Leftrightarrow 0.71$) сопровождается появлением локальных сверхзвуковых зон замкнутых скачком и растущим средним значением аэродинамического момента. Переход от 0.733 до 0.71, как видно из рис.6, рис.7, зависит от состояния (предыстории) системы из которого он осуществлялся.

Анализ знака работы W и соотношения фаз аэродинамического момента и угловых перемещений соответствуют характеру автоколебаний [21].

Выводы. Показано относительное согласование результатов расчета обтекания цилиндра разностным методом и методом дискретных вихрей в общей области их применения. Область трансзвуковых и сверхзвуковых течений газа и область дозвуковых течений- естественные зоны эффективного применения по числу Маха указанных методов.

Выполнено расчетное исследование поведения аэроупругого профиля при изменении скорости набегающего потока из области устойчивых колебаний в область неустойчивых и наоборот. Характер перехода определяется не только направлением изменения числа Маха, но и состоянием системы в момент начала перехода, что характерно для существенно нелинейных систем. С помощью величин M_{∞} и момента времени начала скачкообразного изменения M_{∞} возможна стабилизация аэроупругих колебаний в области неустойчивости.

Предстоит выяснить влияние длительности и характера перехода по Маху (отличного от скачкообразного) на возможность стабилизации неустойчивых аэроупругих колебаний.

ЛИТЕРАТУРА

- Годунов С.К., Забродин А.В., Иванов М.Я. и др. Численное решение многомерных задач газовой динамики. - М.: Наука. - 1976. - 400 с.
- Лисейкин В.Д., Яненко Н.Н. Метод подвижных координат в газовой динамике// Числ. методы механики сплошных сред. - Новосибирск. - 1976. - т.7, № 2. - С.75-82.

- Кондауров В.И. Газовая динамика сплошных сред.
- Забродин А.В. Методы математической газодинамики. Серия: Методы математической
- Гильманов А.Н. М.: Физматлит
- Гильманов А.Н. Исследование вычислительных
- Гильманов А.Н. 326.
- Годунов С.К. Газодинамика. Матем. физики.
- Войнович П.А. неструктурные сетки// Математика
- Лисейкин В.Д. динамике// Числ. Математика. СО АН СССР. - 1976. - № 1. - С.3-12.
- Лисейкин В.Д. сеток// Журнал
- Ильин С.А., Ти схем сквозного переноса// Математика
- Munz C.D. In the hyperbolic conse
- Дьяченко В.Ф. Численное моделирование. С.97-103.
- Curtis M.R. Imp. Pap. 1994. - № 6-1.
- Пинчуков В.И., задача аэрогидродинамики
- Ванин В.А. Структура уравнения теории аэрогидродинамики. Университет математики Новосибирска. - 1976. - т.1, № 1. - С.1-100.
- Лифанов И.К. Математический эксперимент. - М.: Наука. - 1976. - 416 с.
- Годунов С.К. Уравнения математической газодинамики. Университет математики Новосибирска. - 1976. - т.2, № 1. - С.1-100.

3. Кондауров В.И., Липатов В.В. О численном решении двумерных задач газовой динамики в подвижных координатах// Числ. методы механики сплошных сред. - Новосибирск. - 1981. - т.12, № 5. - С.52-69.
4. Забродин А.В., Софронов И.Д., Ченцов Н.Н. Адаптивные разностные методы математического моделирования нестационарных газодинамических течений (обзор)// Вопросы атомной науки и техники. серия: Методики и программы численного решения задач математической физики. - 1982. - вып. 2(10). - С.3-22.
5. Гильманов А.Н. Метод подвижных сеток в задачах газовой динамики. - М.: Физматкнига. - 2001.
6. Гильманов А.Н. Применение динамически адаптивных сеток к исследованию течений с многомасштабной структурой потока// Журнал вычислительной математики и матем. физики. - 2001. - 41, № 2. - С.311-326.
7. Годунов С.К., Прокопов Г.П. Об использовании подвижных сеток в газодинамических расчетах// Журнал вычислительной математики и матем. физики. - 1972. - т. 12, № 2. - С.429-440.
8. Войнович П.А., Шаров Д.М. Моделирование разрывных течений на неструктурированных сетках. Нестационарная локальная адаптация сетки// Математическое моделирование. - 1993. - т. 5, № 7.- С.101-112.
9. Лисейкин В.Д., Яненко Н.Н. Метод подвижных координат в газовой динамике// Числ. методы механ. сплошной среды.- Новосибирск: ИТПМ СО АН СССР. - 1976. - т. 7, № 2. - С.75-82.
10. Лисейкин В.Д. Обзор методов построения структурных адаптивных сеток// Журнал вычислительной математики и матем. физики. - 1996. - т.36, № 1. - С.3-41.
11. Ильин С.А., Тимофеев Е.В. Сравнение квазимонотонных разностных схем сквозного счета на задаче Коши для одномерного уравнения переноса// Математическое моделирование. - 1992. - 4, № 3. - С.62-75.
12. Munz C.D. In the numerical dissipation of high resolution schemes for hyperbolic conservative laws// J. Comput. Phys. - 1998. - 77, № 1. - P.18-39.
13. Дьяченко В.Ф. О неасимптотических принципах аппроксимации// в кн. Численное моделирование в аэрогидродинамике. - М.: Наука. - 1986. - С.97-103.
14. Curtis M.R. Improved reconstruction on unstructured mesh// AIAA Pap.1994. - № 642. - Р.1-15.
15. Пинчуков В.И., Шу Ч.-В. Численные методы высоких порядков для задач аэрогидродинамики. - Новосибирск: Из-во СО РАН. - 2000. - 232 с.
16. Ванин В.А. Структура общего решения одного функционального уравнения теории разностных схем для краевых задач аэрогидродинамики// Крайові задачі для диф. рівнянь. Зб. наук праць Інституту математики НАН України. - 1998. - вип. 1. - С.44-49.
17. Лифанов И.К. Метод сингулярных интегральных уравнений и численный эксперимент. - М.: ТОО "Янус". - 1995. - 520 с.
18. Годунов С.К. Уравнения математической физики. - М.: Наука. - 1971. - 416 с.

19. Любимов А.Н., Русанов В.В. Течение газа около тупых тел. - М.: Наука. - 1970. - ч. II. - 340 с.
20. Ванин В.А., Волков В.Л., Митяй Р.И. Численное моделирование особенностей аэроупругого взаимодействия профиля несущей поверхности со средой в широком диапазоне чисел Маха// Вопросы проектирования и производства конструкций летательных аппаратов. Сб. науч. трудов Гос. аэрокосмич. ун-та им. Н.Е. Жуковского «ХАИ». - вып. 31(4). Харьков: ГАКУ. - 2002. - С.112-117.
21. Фершинг Г. Основы аэроупругости. - М.: Машиностроение., 1984. - 600 с.

Серия «Мате-

УДК 539.3: 62

расчета со

И. С. Вереме

Институт пр

The method of vibrations represents the characteristic expansion of the boundary of the numerical free fluid-cellular particula

Крышка гидропривода сверху проточного направляющего представляет собой системой частот ОАО «Турбоатом» базы для оценки особенностей и оценки прочности с использованием в ряды Фурье получаемых результатов. Указанный под деформированном несимметричном искомых перемещений разложения ряда

Ранее для оценки использовались жидкости [7]. Данная частот гидроупру

Построение взаимодействующих

Уравнение связи, в которой контактируют образом

[К]